# Preparação e Caracterização de Nanocompósitos Poliméricos de MWCNT / Kraton-D<sup>®</sup>

Lucas G. Pedroni\* (IC)<sup>1</sup>, Mauro A. Soto-Oviedo (PQ)<sup>1</sup>, J. Maurício Rosolen (PQ)<sup>2</sup>, Ana Flávia Nogueira (PQ)<sup>1</sup>.

#### lucaspedroni@yahoo.com.br

<sup>1</sup>Laboratório de Nanotecnologia e Energia Solar, Instituto de Química, UNICAMP, Caixa Postal 6154, CEP 13084-862, Campinas-SP, Brazil.

Palavras Chave: nanocompósitos, MWCNT, elastômeros termoplásticos.

#### Introducão

O desenvolvimento e estudo de nanocompósitos têm despertado grande interesse cientifico/tecnológico devido às propriedades excepcionais, versatilidade e possibilidade de controle das características exibida por esses sistemas, permitindo que sejam moldadas para atender à aplicação exigida.

Os nanocompósitos obtidos pela inserção de nanotubos de carbono (CNT) em uma matriz polimérica estão entre os materiais de maior potencial tecnológico, pois unem as propriedades e processabilidade dos polímeros com as singulares propriedades dos CNT. Esses materiais podem apresentar melhorias nas propriedades mecânicas, térmicas e elétricas, permitindo sua aplicação como dissipadores de carga estática, blindagem eletromagnética, sensores, materiais ópticos, etc<sup>1-3</sup>.

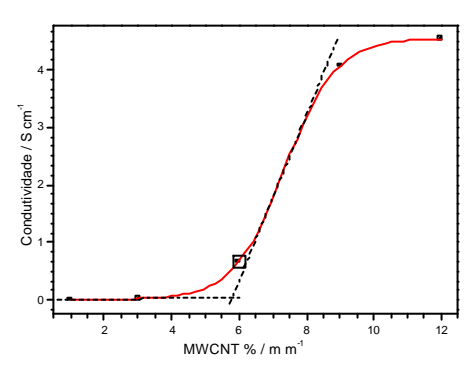
Nesse trabalho foram preparados e caracterizados nanocompósitos de nanotubos de carbono de paredes múltiplas (MWCNT) e um copolímero em bloco tribloco de estireno-butadieno-estireno (SBS) comercial, denominado Kraton-D<sup>®</sup>, preparados pela técnica de *casting*.

## Resultados e Discussão

Os nanocompósitos foram preparados adicionandose a uma solução do copolímero Kraton-D<sup>®</sup> 1102 BT em CHCl<sub>3</sub>, uma dispersão dos MWCNT em xileno na presença de 1 % m m<sup>-1</sup> de agente dispersante polimérico Polyvell 3900. A dispersão foi obtida submetendo-se a solução a um banho de ultra-som por 2 h à temperatura ambiente. A mistura foi agitada por 48 h. Os filmes foram preparados através da técnica de *casting*. A evaporação do solvente foi realizada em 72 h, sendo os filmes obtidos colocados em um dessecador e submetidos a vácuo. Filmes de compósitos com diferentes quantidades de MWCNT foram confeccionados e os valores de condutividade elétrica dos mesmos foram obtidos pelo método Coleman<sup>4</sup>.

Neste estudo, foi observado um aumento na condutividade elétrica dos nanocompósitos mesmo com baixas concentrações de MWCNT, especificamente,

14 ordens de grandeza (de 10<sup>-18</sup> para 10<sup>-4</sup> S cm<sup>-1</sup>) com a adição de apenas 1% m m<sup>-1</sup> de MWCNT, Fig. 1. O limiar de percolação encontrado foi de 5,8% m m<sup>-1</sup>. Os resultados obtidos podem ser aprimorados através de melhorias na dispersão dos MWCNT na matriz polimérica. Observou-se também que a adição de MWCNT ao Kraton-D<sup>®</sup> resultou em melhorias nas propriedades térmicas dos nanocompósitos, tendo sido registrado um aumento da temperatura de degradação térmica do material em função da concentração de MWCNT presente.



**Figura 1.** Condutividade elétrica em função da concentração de CNT para os nanocompósitos MWCNT/Kraton-D<sup>®</sup>.

## Conclusões

Os resultados mostram que os nanocompósitos de MWCNT/Kraton-D<sup>®</sup> apresentam um grande potencial de aplicação como dissipadores de cargas e, possivelmente, como blindagem eletromagnética. A adição de apenas 1% m m<sup>-1</sup> de MWCNT aumentou a condutividade para 10<sup>-4</sup> S cm<sup>-1</sup>.

### **Agradecimentos**

À FAPESP 04/06031-6 e 03/11467-5, à Kraton Polymers do Brasil S/A e ao CNT.Co. Ltd., Korea.

29ª Reunião Anual da Sociedade Brasileira de Química

<sup>&</sup>lt;sup>2</sup>Instituto de Química, USP, CEP 14040-901, Ribeirão Preto, SP, Brazil.

<sup>&</sup>lt;sup>1</sup> Robertson, J. Materials Today 2004, October, 46.

<sup>&</sup>lt;sup>2</sup> Terrones, M. Inter. Mater. Rev. 2004, 49, 325.

<sup>&</sup>lt;sup>3</sup> Baughman, R. H; Zakhidov, A. A e de Heer, W. A. Science **2002**, 297, 787.

<sup>&</sup>lt;sup>4</sup> Coleman, L. B. Rev. Sci. Istrum. 1975, 46, 1125.